

Письма в ЖТФ, том 19, вып. 5

12 марта 1993 г.

02; 07; 12

© 1993

## ЭКСИМЕРНАЯ ЭЛЕКТРОРАЗРЯДНАЯ ЛАМПА С $\lambda \sim 126$ , 146 ИЛИ 172 НМ

А.А. Кузнецов, В.С. Сакун,  
В.Ф. Тарасенко, Е.А. Фомин

1. В последнее время источники мощного УФ и ВУФ излучения находят все более широкое применение в различных областях науки и техники. Используется при этом как когерентное [1], так и спонтанное [2] излучение. Источники спонтанного излучения отличаются простотой и имеют большой срок службы, однако не позволяют получать значительные плотности импульсной и средней мощности излучения и имеют большие потери при увеличении расстояния между источником и объектом облучения. Нами [3] была разработана широкоапертурная эксиплексная лампа с мощным импульсным излучением на  $\lambda \sim 308$ , 250, 350 и 222 нм, диаметром выходного пучка  $\geq 10$  см, в которой использовано излучение импульсного объемного разряда смесей инертных газов с галогенидами при повышенных давлениях. Плотность мощности излучения в этой лампе достигала  $2 \text{ кВт}/\text{см}^2$ .

В данной работе впервые сообщается о создании импульсной электроразрядной лампы ВУФ-диапазона с диаметром выходного пучка  $\geq 10$  см и плотностью импульсной мощности до  $0.5 \text{ кВт}/\text{см}^2$ , использующей излучение димеров инертных газов.

Отметим, что высокая ( $\sim 50\%$ ) эффективность флуоресценции эксимерных молекул димеров инертных газов при возбуждении пучком и разрядом была известна давно [4, 5] и в настоящее время проводятся расчеты [6] эффективности флуоресценции димеров ксенона и аргона в самостоятельном разряде, не учитывающие контрагирования, которое ограничивает длительность объемной стадии разряда при повышенных давлениях.

2. Конструкция эксимерной электроразрядной лампы была по-добна конструкции эксиплексной лампы, описанной в [3]. Излучатель включал: газоразрядную камеру объемом 4 л с двумя основными электродами, один из которых был круглым и профилированным, второй – сетчатым, искровые промежутки системы предыонизации, включенные последовательно с обострительными конденсаторами генератора накачки и расположенные вокруг разрядной области. Также в излучатель входил генератор накачки, собранный на двухконтурной схеме с использованием конденсаторов КВИ-3. Величина основного накопителя составляла 4 нФ, обострительных конденсаторов 2.5 нФ, а величина индуктивности разрядного контура основного накопителя составляла  $\sim 30$  нГ.

Излучение выводилось через окно, изготовленное из  $\text{CaF}_2$  с диаметром используемой поверхности  $\sim 90$  мм. Окно устанавливалось за сетчатым электродом. Геометрическая прозрачность сетчатого электрода составляла 70 %.

В экспериментах использовались гелий, неон, аргон, криpton и ксенон высокой чистоты, в которых примеси составляли менее 0.01 %. Амплитудно-временные и спектральные характеристики излучения измерялись в аргоне ( $\lambda \sim 126$  нм), криптоне ( $\lambda \sim 146$  нм) и ксеноне ( $\lambda \sim 172$  нм), а также в смесях этих газов с буферными газами гелием или неоном. Измерения проводились как в квазиотпаянном режиме, когда эксилампа наполнялась рабочим газом или смесью, так и при непрерывной прокачке газов через разрядный промежуток. Во втором случае благодаря непрерывной подаче свежей смеси мощность излучения во время длительной работы лампы не уменьшалась, а рабочая частота повторения достигала 30 с<sup>-1</sup>. Мощность и длительность импульса излучения эксилампы определялись с помощью ФЭУ-140 с преобразователем спектра на основе салициловокислого натрия, которые предварительно калибровались ArF-лазером. Для регистрации спектров излучения в ВУФ области использовался вакуумный монохроматор BMP-2 с решеткой 600 штр/мм, который калибровался по длинам волн с помощью линейчатого спектра водородной лампы [7].

3. На рис. 1 приведены спектры излучения эксимерной лампы в ВУФ области спектра, соответствующие излучению димеров инертных газов с нижних колебательных уровней состояний  $1,3\Sigma^+$  в основные  $'\Sigma^+$ , [4, 7]. Зависимость интенсивности излучения в максимуме континуума в криптоне, а также длительности импульса излучения на полувысоте представлены на рис. 2, а. Оптимальное давление, при котором интенсивность излучения димеров криптона максимальна, составляет 240 Тор. Уменьшение интенсивности при дальнейшем увеличении давления связано с контракцией объемного разряда. В искровых разрядах из-за высоких концентраций электронов и температуры газа эффективность флуоресценции эксимерных молекул очень низка. При заполнении лампы аргоном и ксеноном наблюдаются подобные зависимости, а максимальные мощности излучения достигались на данной эксилампе при давлениях 300 и 150 Тор соответственно. Использование буферных

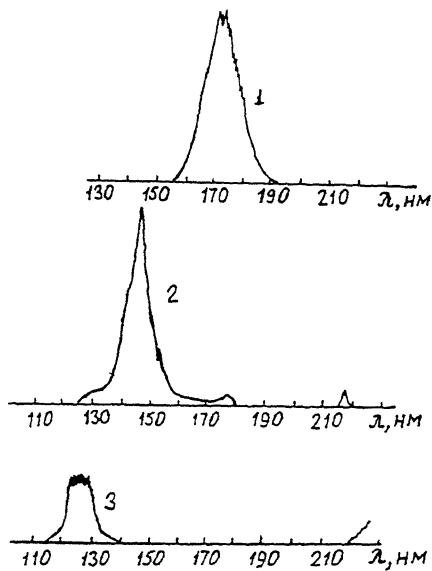


Рис. 1. Спектры излучения ксенона при давлении  $p = 60$  Тор (1), криптона при  $p = 270$  Тор (2) и аргона при  $p = 300$  Тор (3).

газов гелия и неона (рис. 2, б) позволяет улучшить стабильность объемного разряда и увеличить рабочую частоту повторения, при этом в двойных смесях мощность излучения не уменьшается, а в ряде случаев даже увеличивается. Соотношение мощностей излучения димеров в наших экспериментах составило  $P_{Xe} : P_{Kr} : P_{Ar} = 12:6:1$ . Плотность выведенной через окно средней мощности излучения на  $\lambda \sim 146$  нм в смеси  $Kr:He = 1:15$  при давлении  $\sim 1$  атм составила  $\sim 1$  мВт/см $^2$ . Импульсная плотность мощности излучения при выходе из окна на  $\lambda \sim 172$  нм достигала 0.5 кВт/см $^2$ . Длительность импульсов излучения димеров  $Ar_2^*$  ( $\lambda \sim 126$  нм),  $Kr_2^*$  ( $\lambda \sim 146$  нм) и  $Xe_2^*$  ( $\lambda \sim 172$  нм) при максимальных интенсивностях примерно одинакова и составила 500, 500 и 600 нс соответственно. Диаметр светового пучка на выходе из лампы составлял  $\sim 10$  см, а неоднородности по сечению пучка этого же диаметра на расстоянии от выходного окна 8 см были меньше 10%.

4. Таким образом, в данной работе сообщается о создании эксимерной электроразрядной лампы с излучением в ВУФ области спектра с плотностью средней мощности при диаметре выходного пучка  $\sim 10$  см на  $\lambda \sim 146$  и 172 нм  $\geq 1$  мВт/см $^2$ , а также с импульсной плотностью мощности на  $\lambda \sim 172$  нм  $\sim 0.5$  кВт/см $^2$ .

Частота следования импульсов эксилампы достигала 30 с $^{-1}$ . Излучение подобных эксиламп предлагается использовать в микро-

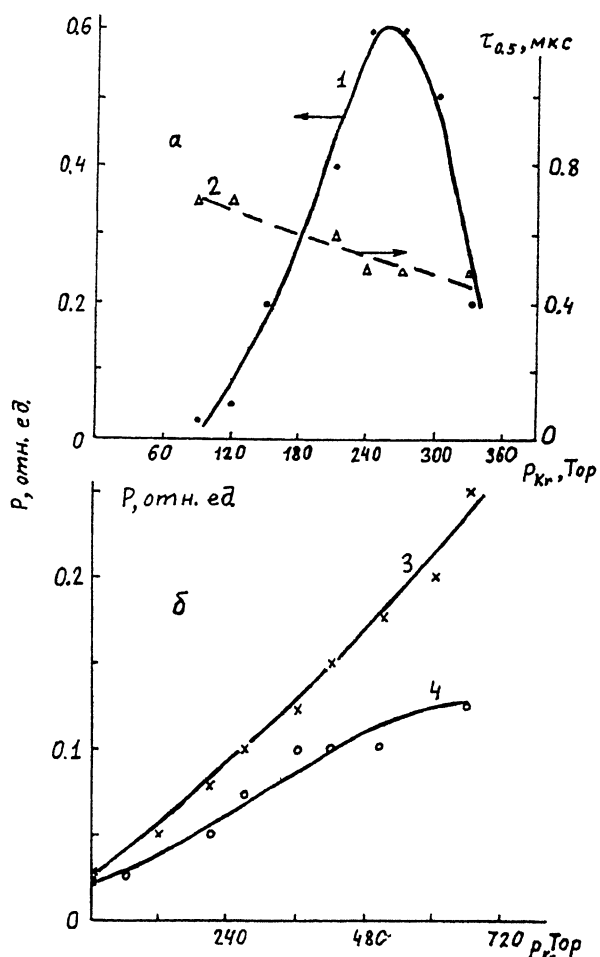


Рис. 2. Зависимости мощности (1) и длительности (2) импульса излучения на  $\lambda \sim 146$  нм от давления криптона (а), зависимости мощности излучения на  $\lambda \sim 146$  нм от давления буферных газов гелия (3) и неона (4) при давлении криптона 90 Тор (б).

электронике, для организации сухих фотостимулированных процессов травления, осаждения и очистки; в экологии – для разрушения токсичных органических веществ; в биологии и медицине.

#### С п и с о к л и т е р а т у р ы

- [1] Р я б о в С.Г., Т о р о п к и н Г.Н., У с о л ь ц е в И.Ф.  
Приборы квантовой электроники. М.: Радио и связь, 1986.  
280 с.

- [2] Курейчик К.П., Безлекин А.И., Хомяк А.С.,  
Александров В.В. Газоразрядные источники света  
для спектральных измерений. Минск: Госуниверситет, 1987.  
200 с.
- [3] Коваль Б.А., Скакун В.С., Тарасенко В.Ф.,  
Фомин Е.А., Янкеевич Е.Б. // ПТЭ. 1992. № 4.  
С. 244-245.
- [4] Эксимерные лазеры / Под ред. Ч. Роудза. М.: Мир, 1981.  
245 с.
- [5] Молчанов А.Г., Попов Ю.М. // Квантовая электро-  
ника. 1974. Т. 1. № 5. С. 1122-1127.
- [6] Gochelashvily K.S., Damyanov A.V., Kochetov I.V., Yangurazova L.R. // Opt. Commun. 1992. V. 91. N 1, 2.  
P. 66-70.
- [7] Зайдель А.Н., Шрейдер Е.Я. Вакуумная спектроско-  
пия и ее применения. М.: Наука, 1976. 431 с.

Институт сильноточной  
электроники СО РАН,  
Томск

Поступило в Редакцию  
17 января 1993 г.